

СИНТЕЗ РЕЛЕЙНОЙ САР НАТЯЖЕНИЯ ПРЯМОГО ДЕЙСТВИЯ ЭЛЕКТРОПРИВОДА МОТАЛКИ НСХП В ПРОСТРАНСТВЕ ОСНОВНЫХ КООРДИНАТ И ИХ ПРОИЗВОДНЫХ

Зеленов А.Б., Полилюк Е.В., Щёлоков А.Г.

Донбасский горно-металлургический институт

aems@mail.ru, aems@yandex.ru

In given article is shown possibility of using the relay-type systems of optimum control for stabilizations with pinpoint accuracy of tension band, rolled on the area between the last stand and reel of continuous cold-rolling mill. Syntheses of algorithms of control is realized by the method of analytical design regulators in the space of main coordinates and their derived.

При рулонном способе обработки металла на всех технологических переделах холодной прокатки осуществляется развертывание рулонов в полосу перед началом технологического процесса и свертывание её в рулон после его завершения.

Холодная прокатка производится при обязательном наличии натяжения полосы между клетями и между клетью и моталкой. Лишь при этом условии возможно получение листа высокого качества. Натяжение является главной особенностью станов холодной прокатки, так как оно обеспечивает: одинаковую толщину и ровную поверхность полосы; качественное сматывание и наматывание полосы в рулоны; повышенную надёжность работы оборудования, так как предотвращается образование петель и связанных с этим повреждений. Потеря натяжения так же, как и его чрезмерная величина, приводят к аварийным режимам с возможными тяжёлыми последствиями. При низких натяжениях может произойти нарушение плоскости, образование складок. Чрезмерно высокие уровни натяжения также опасны, так как появляющиеся внутренние напряжения накладываются на общее натяжение и суммарная величина может превысить предел прочности полосы, приводя к обрыву полосы.

На прокатных станах применяются как системы управления моталками с косвенным регулированием, так и системы управления по сигналу измеренного непосредственно натяжения. Характерной особенностью современных станов является значительный диапазон изменения натяжений полосы при смотке. Это значительно усложняет задачу косвенного регулирования натяжения, поскольку при работе с малым натяжением может возникать значительная погрешность, обусловленная неточной компенсацией механических потерь в системе привода. Решением проблемы является применение систем автоматического регулирования натяжения в функции сигнала измерителя этого натяжения. Системы с измерителем натяжения позволяют вести прокатку с поддержанием натяжения на очень низком уровне, поэтому при широком диапазоне натяжений наиболее перспективной среди существующих является система с регулированием непосредственно по натяжению.

Существующие на данный момент различные способы построения систем стабилизации натяжения полосы (применение принципов подчиненного регулирования и модального управления, использование адаптивной системы управления) не обеспечивают инвариантности системы к координатным и параметрическим возмущениям, которыми в данной системе являются изменение радиуса и момента инерции рулона, обратные составляющие приращения радиуса вследствие наложения очередного витка и эксцентрикитета рулона, а также эксцентрикитетные колебания скорости валковой системы. Поэтому решение комплексной проблемы одновременной стабилизации натяжения полосы с высокой точностью и придания системе управления электроприводом свойств квазинвариантности к координатным и параметрическим возмущениям представляется весьма актуальной.

Данная статья посвящена синтезу релейной системы оптимального управления электроприводом моталки НСХП как объекта управления САР натяжения прямого действия (САРН-П) с использованием в обратной связи сигнала измерителя натяжения. Работа релейной САРН-П с организацией скользящих режимов в системе позволит значительно повысить точность регулирования натяжения и обеспечит квазинвариантность к параметрическим и координатным возмущениям при стабилизации натяжения полосы. Для решения поставленной задачи использован метод аналитического конструирования регуляторов (АКР) [1, 2].

Математическое описание электропривода моталки НСХП, представленного двухмассовой электромеханической системой с питанием приводного электродвигателя постоянного тока от источника регулируемого напряжения (например, тиристорного преобразователя) приведено в статье [3]. Рассмотрено математическое описание электропривода моталки НСХП как объекта управления САРН-П с учётом упругости кинематических звеньев механизма моталки.

При структурно-алгоритмическом синтезе релейных систем управления полагаем, что математическая модель объекта управления представлена автономной системой линейных дифференциальных уравнений в форме Коши в матричном представлении:

$$py = Ay + bu, \quad y_i = e_i^T y, \quad (1)$$

где $p = d/dt$ - оператор дифференцирования;

$\mathbf{y} = [y_1 \ y_2 \ \dots \ y_n]^T = [\Delta T_{i+1,i} \ \Delta T_{i+1,i} \ \Delta \omega_2 \ \Delta \dot{I}_{12} \ \Delta \omega_1 \ \Delta i_y \ \Delta e_{\delta i}]^T$ - вектор координат состояния системы; $[\dots]^T$ - здесь и далее операция транспонирования;

$\mathbf{A} = [a_{ij}]_{n,n}$ - матрица динамики системы, ненулевые элементы которой равны:

$$\begin{aligned} a_{11} &= 1; a_{22} = -\frac{1}{T_i}; a_{23} = \frac{R_{p0}k_i}{T_i} \cdot \frac{\omega_{2i}}{\dot{O}_i}; a_{32} = -\frac{R_{p0}}{J_2} \cdot \frac{\dot{O}_i}{\omega_{2i}}; a_{33} = -\frac{k_{c12} + k_{f2}}{J_2}; a_{34} = \frac{1}{J_2} \cdot \frac{\dot{I}_{12i}}{\omega_{2i}}; \\ a_{35} &= \frac{k_{c12}}{J_2} \cdot \frac{\omega_{1i}}{\omega_{2i}}; a_{43} = -c_{12} \cdot \frac{\omega_{2i}}{\dot{I}_{12i}}; a_{45} = c_{12} \cdot \frac{\omega_{1i}}{\dot{I}_{12i}}; a_{53} = \frac{k_{c12}}{J_1} \cdot \frac{\omega_{2i}}{\omega_{1i}}; a_{54} = -\frac{1}{J_1} \cdot \frac{\dot{I}_{12i}}{\omega_{1i}}; a_{55} = -\frac{k_{c12} + k_{f1}}{J_1}; \\ a_{56} &= \frac{C_d \dot{O}_d}{J_1} \cdot \frac{I_i}{\omega_{1i}}; a_{65} = -\frac{C_d \dot{O}_d}{R_{y,\delta} T_{y,\delta}} \cdot \frac{\omega_{1i}}{I_i}; a_{66} = -\frac{1}{T_{y,\delta}}; a_{67} = \frac{1}{R_{y,\delta} T_{y,\delta}} \cdot \frac{A_{\delta i i}}{I_i}; a_{77} = -\frac{1}{T_\mu}, \end{aligned}$$

$\mathbf{b} = \left[0 \ 0 \ 0 \ 0 \ 0 \ \frac{k_{\delta i}}{T_\mu} \right]^T$ - вектор-столбец коэффициентов управления;

u - скалярная функция управления; y_i - регулируемая переменная в каждом i -том контуре регулирования; \mathbf{e}_i - вектор коэффициентов выхода, i -тый элемент которого равен единице при равенстве нулю остальных.

Заменой на координаты возмущённого движения $\boldsymbol{\eta} = \mathbf{y} - \mathbf{y}^*$ система (1) может быть приведена к виду:

$$p\boldsymbol{\eta} = \mathbf{A}\boldsymbol{\eta} + \mathbf{b}u, \quad \eta_i = \mathbf{e}_i^T \boldsymbol{\eta}. \quad (2)$$

Здесь $\boldsymbol{\eta} = [\eta_1 \ \eta_2 \ \dots \ \eta_n]^T$ - вектор-столбец координат возмущённого состояния системы.

При синтезе регулятора натяжения в качестве выходной регулируемой переменной принята координата y_1 . Математическую модель объекта управления в каноническом пространстве (т.е. в пространстве основных регулируемых координат и их производных) возмущённого движения представим в виде:

$$p\mathbf{x} = \mathbf{Gx} + \mathbf{e}_n u, \quad \eta_1 = \mathbf{f}^T \mathbf{x}, \quad (3)$$

где \mathbf{x} - вектор координат возмущенного движения канонической системы;

$$\mathbf{G} = \tilde{\mathbf{M}}^{-1} \mathbf{AM} = \begin{bmatrix} 0 & 1 & 0 & \dots & 0 \\ 0 & 0 & 1 & \dots & 0 \\ \dots & \dots & \dots & \dots & \dots \\ -g_0 & -g_1 & -g_2 & \dots & -g_{n-1} \end{bmatrix}, \quad \mathbf{e}_n = [0 \ 0 \ \dots \ 1]^T, \quad \mathbf{f}^T = [f_1 \ f_2 \ \dots \ f_n] = \mathbf{e}_1^T \mathbf{M} -$$

соответственно матрица динамики и векторы коэффициентов входа и выхода этой системы;

g_0, g_1, \dots, g_n - коэффициенты характеристического полинома системы:

$$\det[p\mathbf{E} - \mathbf{A}] = g_n p^n + \dots + g_1 p + g_0; \quad (4)$$

\mathbf{E} - единичная диагональная матрица; \mathbf{M} - преобразующая матрица, которая может быть определена на основе матрицы управляемости $\mathbf{R} = [\mathbf{b} \ | \ \mathbf{Ab} \ | \ \dots \ | \ \mathbf{A}^{n-1}\mathbf{b}]$ и коэффициентов характеристического полинома

$\det[p\mathbf{E} - \mathbf{A}]$ в виде:

$$\mathbf{M} = \mathbf{R} \begin{bmatrix} g_1 & g_2 & \dots & g_{n-1} & g_n \\ g_2 & g_3 & \dots & g_n & 0 \\ \dots & \dots & \dots & \dots & \dots \\ g_{n-1} & g_n & \dots & 0 & 0 \\ g_n & 0 & \dots & 0 & 0 \end{bmatrix}. \quad (5)$$

Для удобства в дальнейшем вместо стандартного вектора канонических координат \mathbf{x} будем использовать модифицированный вектор канонических координат

$$\hat{\mathbf{x}} = b_0 \mathbf{x}, \quad (6)$$

где $b_0 = \mathbf{e}_1^T \mathbf{M} \mathbf{e}_1$.

Используя метод АКР [1, 2] синтезируем релейную САРН-П электроприводом моталки НСХП. В результате структурно-алгоритмических преобразований применительно к релейной системе управления получим

алгоритм управления регулятора натяжения в фазовом пространстве основных регулируемых координат электропривода и их производных:

$$U = -\text{sign}\left(\mathbf{b} \frac{\partial V(\hat{\mathbf{x}})}{\partial \hat{\mathbf{x}}}\right) = -\text{sign}(\boldsymbol{\lambda}^T \hat{\mathbf{x}}), \quad (7)$$

где $\boldsymbol{\lambda}^T = \mathbf{b}^T \mathbf{V} = [\lambda_1 \ \lambda_2 \ \dots \ \lambda_n]$ - вектор коэффициентов обратных связей; $V(\mathbf{x})$ - функция Ляпунова, представляет собой положительно-определенную квадратичную форму:

$$V(\hat{\mathbf{x}}) = \hat{\mathbf{x}}^T \mathbf{V} \hat{\mathbf{x}}, \quad \mathbf{V} = \mathbf{V}^T. \quad (8)$$

Согласно А.А.Красовскому [4], коэффициенты матрицы \mathbf{V} могут быть определены в результате решения матричного алгебраического уравнения:

$$\mathbf{VG} + \mathbf{G}^T \mathbf{V} + \mathbf{W} = 0, \quad (9)$$

определенного стабилизирующие свойства управления, т.е. выполнение граничного условия $\eta(\infty) = 0$.

Здесь $\mathbf{W} = \mathbf{W}^T$ - матрица весовых коэффициентов интегранта $I_1 = \int_0^\infty (\eta^T \mathbf{W} \eta) dt$, накладывающих «штрафы» на величину и длительность отклонений координат в переходном процессе.

При определении функции Ляпунова, удовлетворяющей уравнению (9), удобно пользоваться методом, предложенным Е.А.Барбашиним [5]. В соответствии с этим методом искомая функция Ляпунова имеет вид матричного уравнения:

$$\mathbf{Vx} = \frac{-1}{\Delta} \begin{pmatrix} 0 & x_1^2 & 2x_1x_2 & \dots & 2x_1x_n & x_2^2 & \dots & 2x_2x_n & \dots & x_n^2 \\ -0,5\omega_{11} & c_{11,11} & c_{12,11} & \dots & c_{1n,11} & c_{22,11} & \dots & c_{ik,11} & \dots & c_{nn,11} \\ -\omega_{12} & c_{11,12} & c_{12,12} & \dots & c_{1n,12} & c_{22,12} & \dots & c_{ik,12} & \dots & c_{nn,12} \\ \vdots & \vdots & \vdots & \ddots & \vdots & \vdots & \ddots & \vdots & \ddots & \vdots \\ -\omega_{1n} & c_{11,1n} & c_{12,1n} & \dots & c_{1n,1n} & c_{22,1n} & \dots & c_{ik,1n} & \dots & c_{nn,1n} \\ -0,5\omega_{22} & c_{11,22} & c_{12,22} & \dots & c_{1n,22} & c_{22,22} & \dots & c_{ik,22} & \dots & c_{nn,22} \\ \vdots & \vdots & \vdots & \ddots & \vdots & \vdots & \ddots & \vdots & \ddots & \vdots \\ -\omega_{ik} & c_{11,ik} & c_{12,ik} & \dots & c_{1n,ik} & c_{22,ik} & \dots & c_{ik,ik} & \dots & c_{nn,ik} \\ \vdots & \vdots & \vdots & \ddots & \vdots & \vdots & \ddots & \vdots & \ddots & \vdots \\ -0,5\omega_{nn} & c_{11,nn} & c_{12,nn} & \dots & c_{1n,nn} & c_{22,nn} & \dots & c_{ik,nn} & \dots & c_{nn,nn} \end{pmatrix}, \quad (10)$$

где $c_{ij,kl}$ — постоянные вещественные коэффициенты определяемые соотношениями:

$$c_{ij,kl} = c_{ji,kl} = c_{ji,lk} \\ c_{ij,kl} = \begin{cases} 0 & \text{если } i \neq j \neq k \neq l; \\ g_{jk} & \text{если } j = l, i \neq k; \\ g_{ii} + g_{kk} & \text{если } i = k, j = l, i \neq j; \\ g_{ii} & \text{если } i = j = k = l. \end{cases} \quad (11)$$

Из уравнения (10) коэффициенты функции Ляпунова определяются по формулам Крамера.

Синтез алгоритмов управления регуляторами скорости и тока электропривода моталки может быть осуществлён аналогично приведенному заменой регулируемой переменной в каждом контуре регулирования в исходной системе (1).

Структурная схема синтезированной релейной САРН-П между последней клетью и моталкой, представленной линейными дифференциальными уравнениями вида (1) с алгоритмом управления (7) приведена на рис. 1. В полученной структурной схеме вектор $\hat{\mathbf{x}}$ представлен произведением векторного оператора дифференцирования $\mathbf{p} = [1 \ p \ \dots \ p^{n-1}]$ на управляемую координату объекта.

Для анализа работоспособности синтезированной релейной САРН-П применительно к двухмассовому ЭП моталки было проведено компьютерное моделирование в среде MATLAB 6.5 / Simulink. Исследовались переходные процессы пуска, режима намотки полосы с постоянной линейной скоростью, торможения СХП и удержания натяжения полосы после останова приводов (создание натяжения покоя). На рис. 2 представлены результаты моделирования, в котором осуществлялась стабилизация натяжения полосы с помощью релейных систем. На графиках представлены переходные процессы скорости выхода металла из валков последней клети V_4 , линейной скорости намотки полосы в рулон V_1 и натяжения полосы T соответственно. Также представ-

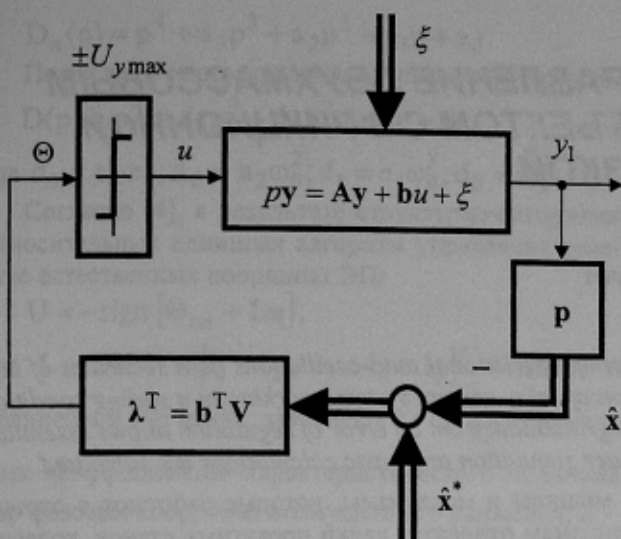


Рисунок 1 - Структурная схема релейной САРН-П электроприводом моталки НСХП

- пакет траекторий движения (вектор y_1^*) представлен в виде реакции эталонной системы того же порядка, что и исходный объект на скачок задающего воздействия. Это позволило получить плавное нарастание выходной величины – натяжения полосы во время пуска и останова СХП без срыва скользящего режима в релейной системе при условии, что быстродействие синтезируемой релейной САРН-П будет больше быстродействия эталонной системы.

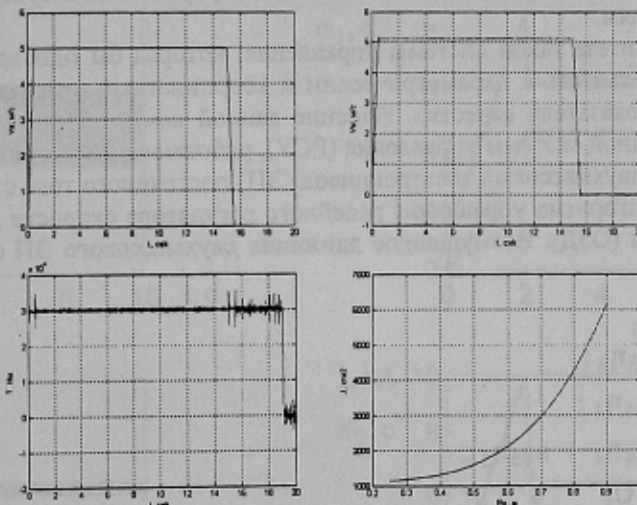


Рисунок 2 – Графики переходных процессов в синтезированной релейной САРН-П

ЛИТЕРАТУРА

1. Зеленов А.Б. Синтез и исследование релейных систем управления электроприводом постоянного тока // Изв. Вузов. Электромеханика, - 1979, №5. – с. 407-413.
2. Садовой А.В., Сухинин Б.В. Сохина Ю.В. Системы оптимального управления прецизионными электроприводами.- К.: ИСИМО, 1996.- 298 с.
3. Зеленов А.Б., Полилов Е.В. Математическое описание электропривода моталки НСХП как объекта управления САР натяжения прямого действия // Труды ДонНТУ. Сер. Электротехника и энергетика.- Донецк: ДонНТУ.- 2002.- Вып. 41.
4. Красовский А.А. Интегральные оценки моментов и синтез нелинейных регуляторов. - Автоматика и телемеханика.- 1967.- №12,- с. 26-37.
5. Барбашин Е.А. Функции Ляпунова. – М.: Наука, 1970. – 240с.

лена функциональная зависимость переменного момента инерции системы от радиуса рулона, полученная путём более длительной во времени имитации процесса намотки.

ВЫВОДЫ

Для электропривода моталки, представленного двухмассовой электромеханической системой с учётом упругости кинематических звеньев синтезирована релейная САРН-П методом АКР в фазовом пространстве основных регулируемых координат и их производных, что обеспечивает:

- высокие показатели качества переходных процессов;
- высокую точность стабилизации натяжения полосы на заданном уровне во всех режимах работы стана (пуск, режим намотки полосы с постоянной линейной скоростью, торможение НСХП и удержание натяжения полосы после останова приводов);
- квазинвариантность к координатным и параметрическим возмущениям;